

- [8] Yuratch M.A., Hanna D.C. - J. Phys. B, 1976, v. 9, N 5, p. 729-750.
- [9] Gallagher A., Lurio A. - Phys. Rev., 1964, v. 136 N 1 A, p. A-87-A105.
- [10] Vriens L. - Opt. Commun., 1974, v. 11, N 4, p. 396-401.
- [11] Делоне Н.Б., Крайнов В.П. Основы нелинейной оптики атомарных газов. М.: Наука, 1986.

Московский государственный
университет им. М.В. Ломоносова

Поступило в Редакцию
5 июня 1988 г.

Письма в ЖТФ, том 14, вып. 17

12 сентября 1988 г.

РЕКОМБИНАЦИЯ ЭЛЕКТРОНОВ С АТОМАРНЫМИ ИОНАМИ В БУФЕРНОМ ИНЕРТНОМ ГАЗЕ

В.А. Иванов, В.С. Лебедев, В.С. Марченко

Известно, что релаксация рекомбинирующего электрона по высоковоизбужденным уровням атома в процессе тройной электрон-ионной рекомбинации носит диффузионный характер [1, 2]. При высоких степенях ионизации процесс идет при столкновениях с электронами, при низких — с нейтральными частицами. В данной работе исследован процесс рекомбинации в плазме смешанных инертных газов, в котором столкновения с нейтральными частицами играют определяющую роль даже при высоких степенях ионизации $\alpha \cdot 10^{-8} - 10^{-4}$. Эксперименты выполнены в плазме послесвечения импульсного разряда в смеси He/Xe ($N_{He} = 2.6 \cdot 10^{17} - 4.4 \cdot 10^{18}$, $N_{He} = 10^{14} - 10^{16}$ см $^{-3}$ $\leq N_{He}$) в диапазоне температур и концентраций электронов $T_e = 400 - 2500$ К и $N_e = 2 \cdot 10^{10} - 3 \cdot 10^{12}$ см $^{-3}$. В этих условиях $[Xe_2^+] \ll [Xe^+] \approx N_e$. Рекомбинация электронов и ионов Xe $^+$ с участием в процессе атомов Xe в основном состоянии [4], обусловленная (также, как и ионизация высоковоизбужденного атома в собственном газе [5]) дипольными переходами между Σ_g и Σ_u — термами квазимолекулярного иона Xe $_2^+$ здесь неэффективна из-за малой концентрации Xe $^+$. Для объяснения наблюдаемых высоких скоростей рекомбинации (см. рис. 1) построена модель, в которой релаксация рекомбинирующего электрона по высоковоизбужденным $n\ell$ — уровням происходит сначала при столкновениях с электронами

¹ В плазме чистых инертных газов X из-за высокой скорости процесса конверсии $X + 2X \rightarrow X_2^+ + X$ обычно $[X_2^+] \geq [X^+]$, поэтому полная скорость нейтрализации заряда, как правило, определяется диссоциативной рекомбинацией, а указанный механизм рекомбинации в собственном газе существенен только для кинетики высоковоизбужденных атомов.

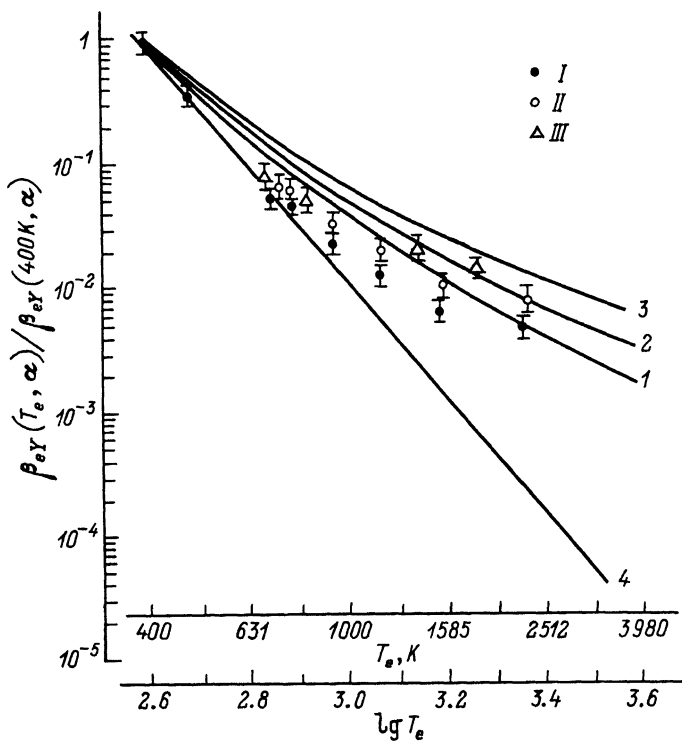


Рис. 1. Зависимости относительных коэффициентов тройной рекомбинации от температуры T_e при различных степенях ионизации $\alpha = N_e/N_{He}$ ($P_{He} = 50$ Торр, $P_{Xe} < 0.01$ Торр, $T_{газ} = 400$ К). I - $N_e = 3 \cdot 10^{11} \text{ см}^{-3}$, II - $N_e = 1.5 \cdot 10^{11} \text{ см}^{-3}$ и III - $N_e = 7.5 \cdot 10^{10} \text{ см}^{-3}$ данные, полученные из измерений интенсивностей линии $9d \rightarrow 6p$ ($\lambda = 5934 \text{ \AA}$) в предположении $\beta_{eY}(T_e)/\beta_{eY}(400 \text{ K}) \sim J_\lambda(T_e)/J_\lambda(400 \text{ K})$. Кривые 1, 2 и 3 - соответствующие расчеты по формуле (4). Кривая 4 - расчет по формуле, учитывающей лишь столкновения с электронами $\beta_e(T_e)/\beta_e(400 \text{ K}) = (400 \text{ K}/T_e)^{9/2}$.

(также, как и в [2]), а затем, начиная с некоторых уровней $|\varepsilon_{nl}| \gtrsim \varepsilon_y$, преимущественно в результате эффективного тушения атомами буферного газа. Традиционный механизм тушения Ферми (рассеяние возмущающего атома на слабосвязанном электроне высоковозбужденного атома) оказывается при этом неэффективным.

В данной работе предложен новый механизм тушения высоковозбужденных уровней, реализующийся при столкновениях различных атомов $X(nl)$ и Y инертных газов, который обусловлен рассеянием возмущающей частицы Y на ионном остове X^+ . Столкновительное тушение $nl \rightarrow n'l'$ ридберговского электрона e^- атома $X(nl)$ в буферном газе происходит при этом в результате неадиабатических

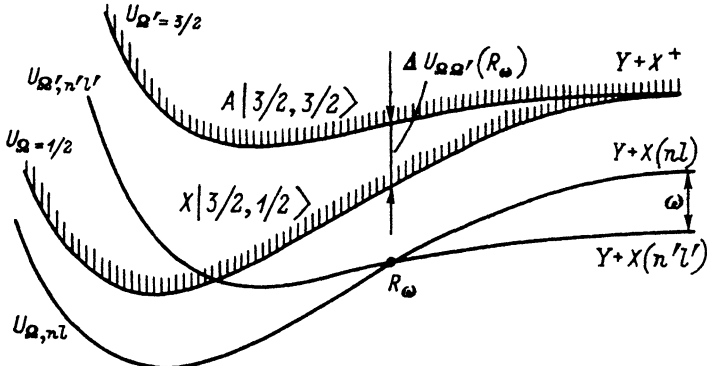


Рис. 2. Типичные термы $U_{\Omega}(R)$ и $U_{\Omega'}(R)$ квазимолекулярного иона UX^+ , составленного из атома $Y(^1S_0)$ и иона $X^+(^2P_{3/2})$ различных инертных газов, и соответствующие ридберговские термы $U_{\Omega,nl}(R)=U_{\Omega}(R)+\epsilon_{nl}$ и $U_{\Omega',n'l'}(R)=U_{\Omega'}(R)+\epsilon_{n'l'}$ квазимолекулы $UX^+ + e^-$ с энергиями связи $|\epsilon_{nl}|$ и $|\epsilon_{n'l'}|$ высоковозбужденного электрона e^- ($\epsilon_{nl} = -1/2(\kappa - \delta_l)^2 \delta_l$ — квантовый дефект). R_{ω} — точка пересечения ридберговских термов $U_{\Omega,nl}(R)$ и $U_{\Omega',n'l'}(R)$, определяемая из условия $\Delta \epsilon_{nl, n'l'} = U_{\Omega}(R_{\omega}) - U_{\Omega'}(R_{\omega}) = \omega$ (ω — частота перехода $nl \rightarrow n'l'$).

переходов $X|J,\Omega\rangle \rightarrow A|J,\Omega'\rangle$ между расщепленными термами $U_{\Omega}(R)$ и $U_{\Omega'}(R)$ квазимолекулярного иона UX^+ , образующегося при пролете атома у вблизи ионного острова X^+ (см. рис. 2). Этот механизм осуществляется за счет взаимодействия внешнего e^- и внутренних p^5 электронов квазимолекулы $Y(^1S_0) + X(p(^2P_{3/2}), nl)$. Такой переход в оболочке иона UX^+ можно рассматривать как $|J,\Omega\rangle \rightarrow |J,\Omega'\rangle$ переход вакансии между состояниями $\Psi_{\Omega}(r_v, R)$ и $\Psi_{\Omega'}(r_v, R)$ с различными проекциями $\Omega=1/2$ и $\Omega'=3/2$ полного момента $J=3/2$ на межъядерную ось R . В рамках теории возмущений [3] по взаимодействию $V=-1/r_{ev}$ внешнего электрона r_e с вакансней r_v для сечения исследуемого процесса тушения получим формулу:

$$\sigma_{nl,n'l'} = \frac{2\pi^2}{(2l+1) v' v''} \times$$

$$\times \int 2\pi \rho d\rho \left| \langle \chi_{v\rho}^{\Omega}(R) | \chi_{v'\rho}^{\Omega'}(R) \rangle \right|^2 \sum_{mm'} |K_{\Omega} K_{\Omega'} \psi_{nlm} | \frac{1}{r_{ev}} | \psi_{n'l'm'} \rangle | \Psi_{\Omega} \rangle |^2.$$

Здесь $\chi_{v\rho}^{\Omega}(R)$ и $\chi_{v'\rho}^{\Omega'}(R)$ — радиальные волновые функции относительного движения частиц X^+ и Y в U_{Ω} и $U_{\Omega'}$ — термах, v и v' — их скорости при $R \rightarrow \infty$, ρ — прическая параметр, а $\psi_{nlm}(r_e)$ и $\psi_{n'l'm'}(r_e)$ — волновые функции ридберговского электрона e^- с энергиями ϵ_{nl} и $\epsilon_{n'l'}$. Расчет ядерных матричных

элементов $\langle \chi_{\nu\rho}^{\Omega} | \chi_{\nu'\rho'}^{\Omega'} \rangle$ и интегрирование по $2\pi r d\rho$ проведем в (1) методом Ландау-Зинера [3]. Используя далее разложение потенциала $V = -1/r_{e\nu}$ по мультипольям и учитывая, что вклад в электронный матричный элемент в (1) дают лишь квадрупольная и короткодействующая части взаимодействия, приходим к следующему результату для сечения тушения:

$$\sigma_{nl, n'l'} = \frac{8\pi^2}{25\nu} \frac{R_\omega^2 C_{ll'} Q_{ll'}^2}{\Delta F(R_\omega)(2l+1)n^3 n'^3}, \quad (2)$$

$$Q_{ll'} = \frac{\langle r_\nu^2 \rangle}{(l+1/2)^3} \delta_{ll'} + \frac{2^{l+l'+2} \langle r_\nu^{l+l'+2} \rangle}{(2l+1)!(2l'+1)!(l+l'+5)},$$

$$C_{ll'} = (2l+1)(2l'+1) \left(\begin{matrix} l & 2 & l' \\ 0 & 0 & 0 \end{matrix} \right)^2 \sum_{mm'} \left(\begin{matrix} l & 2 & l' \\ m & m' & m' \end{matrix} \right)^2.$$

Здесь $\Delta F(R_\omega)$ – разность наклонов ридберговских термов $U_{\Omega, nl}$ и $U_{\Omega', n'l'}$ квазимолекулы $UX^+ + e^-$ в точке их пересечения R_ω (см. рис. 2); $C_{ll'}$ и $Q_{ll'}$ – угловые и радиальные интегралы. Величины $Q_{ll'}$ вычислены с помощью квазиклассических кулоновских волновых функций $R_{nl}(r_e)$ внешнего электрона e^- и выражаются через мультипольные моменты $\langle r_\nu^k \rangle$ ионами $X^+(p_5^5, ^2P_{3/2})$ по хартри-фоковским функциям p^5 -оболочки. Конкретный анализ показывает, что тушение энергии ридберговского электрона происходит в основном за счет столкновительных переходов $n\rho \rightarrow n'\rho$ с $l=l'=1$.

Результат для полной скорости $\beta_{eY} [\text{см}^6 \cdot \text{с}^{-1}] = \Gamma / N_e^3$ – тройной электрон-ионной рекомбинации ($\Gamma [\text{см}^{-3} \cdot \text{с}^{-1}]$ – рекомбинационный поток) получим с помощью формулы (2) на основе кинетической модели рекомбинации [4] с участием процессов тушения тяжелыми частицами:

$$\beta_{eY}(T_e, \alpha) = \beta_e(T_e) \xi^{-1}(\varepsilon_Y/T_e), \quad (4)$$

$$\varepsilon_Y(T_e, \alpha) = \frac{1}{2} \left[\frac{(8\nu-9)\alpha T_e^{-1/2}}{2(2\pi)^{3/2} A^{3/\nu} \zeta(1+3/\nu) C_{11} Q_{11}^2} \right]^{\frac{2\nu}{8\nu-9}}$$

Здесь $\beta_e(T_e)$ – скорость тройной рекомбинации на электронах [2], $\alpha = N_e/N_Y$ – степень ионизации плазмы смеси инертных газов X/Y ($N_x \ll N_y$), А и ν – параметры степенной аппроксимации $\Delta U_{\Omega\Omega'}(R) = A/R^\nu$ энергии расщепления $X|3/2, 1/2\rangle$ и $A|3/2, 3/2\rangle$ – термов, $\zeta(x)$ – дзета-функция Римана. Величина $\xi^{-1}(\varepsilon_Y/T_e)$ имеет смысл коэффициента увеличения скорости рекомбинации ($0 \leq \xi \leq 1$) за счет тушения ридберговских уровней атомов X(nl) атомами Y буферного газа и выражается через неполную гамма-функцию $\xi(x) = (4/3\pi^{3/2}) \gamma(5/2, x)$. Энергия связи электрона ε_Y разделяет дискретный спектр атома X(nl) на две области, в первой ($|\varepsilon_{nl}| \leq \varepsilon_Y$) из которых рекомбинационный поток определяется в основном диффузией по высоковозбужденным уровням при

столкновениях с электронами, а во второй ($|\varepsilon_{nl}| \geq \varepsilon_y$) рассмотренным здесь механизмом тушения нейтральными частицами Y.

Построенная модель позволила количественно объяснить полученные в данной работе экспериментальные данные (см. рис. 1) по коэффициентам $\beta_{ey}(T_e, \alpha)$ тройной рекомбинации электронов с ионами Xe^+ и интенсивностям $J_\lambda(T_e, \alpha)$ излучения ряда спектральных линий атомов Xe (начинающихся из рекомбинационно заселяемых $9s$, $8p$, $9d$, $10d$, $11d$, $6f$ и $7f$ - уровней) в плазме смеси He/Xe. Температурные зависимости скоростей рекомбинации были получены с помощью метода [6], основанного на использовании подогревного импульса тока для создания заданной температуры T_e электронов в распадающейся плазме. Концентрации электронов $N_e(t) = i(t)/\pi r^2 v_{gr}$ измерялись по току $i(t)$ разряда с использованием известных (для заданных параметров плазмы E/N_{He}) значений дрейфовой скорости v_{gr} электронов в гелии (E -напряженность электрического поля, r -радиус разрядной трубки). Как видно из рис. 1, для полученных зависимостей характерен резкий спад в области низких температур $T_e \leq 600$ -900 К (близкий к $T_e^{-9/2}$) и существенно более медленный спад и аномально высокие величины $\beta_{ey} \gg \beta_e$ при $T_e \geq 600$ -900 К. Именно такое поведение следует непосредственно из формулы (4), которая указывает на смену режима рекомбинации в области $T_e \sim \varepsilon_y = 600$ -900 К от $\Gamma \sim T_e^{-9/2} N_e^3$ (при $T_e \ll \varepsilon_y$) к $\Gamma \sim T_e^{-1.6} N_e^{2.3} N_{He}^{0.7}$ (при $T_e \gg \varepsilon_y$). При этом в области $T_e \geq \varepsilon_y$ коэффициент рекомбинации $\beta_{ey} = \Gamma / N_e^3$ резко возрастает по сравнению со случаем обычной рекомбинации на электронах. При степенях ионизации $\alpha = N_e / N_{He} = 10^{-5}, 10^{-6}, 10^{-7}$ и 10^{-8} из (4) получим соответственно увеличение в 4, 10, 57 и 325 раз для $T_e = 0.2$ эВ. Этот факт указывает на эффективность предложенного в работе механизма тушения радиационных уровней атомов нейтральными частицами в процессе электрон-ионной рекомбинации плазмы смешанных инертных газов.

Л и т е р а т у р а

- [1] Питаевский Л.П. - ЖЭТФ, 1962, т. 42, с. 1326.
- [2] Гуревич А.В., Питаевский Л.П. - ЖЭТФ, 1964, т. 46, с. 1281.
- [3] Ландау Л.Д., Лифшиц Е.М. - Квантовая механика. М.: Наука, 1974.
- [4] Марченко В.С. - Хим. физика, 1985, т. 4, с. 595.
- [5] Девдариани А.З., Ключарев А.Н., Лазаренко А.В. и др. - Письма в ЖТФ, 1978, т. 4, с. 1013.
- [6] Иванов В.А., Скобли Ю.Э. - ЖТФ, 1981, т. 51, с. 1386.

Ленинградский государственный
университет им. А.А. Жданова

Поступило в Редакцию
13 марта 1988 г.